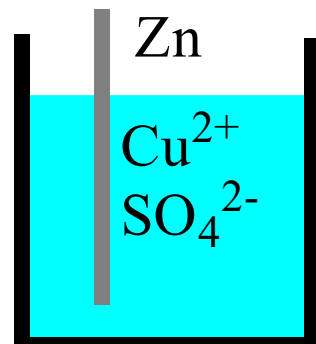
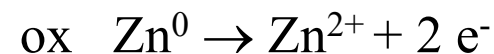
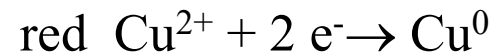
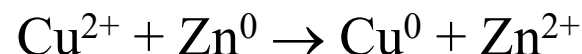


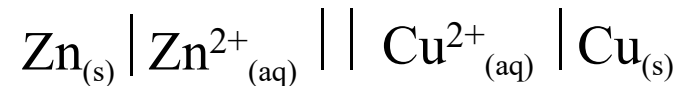
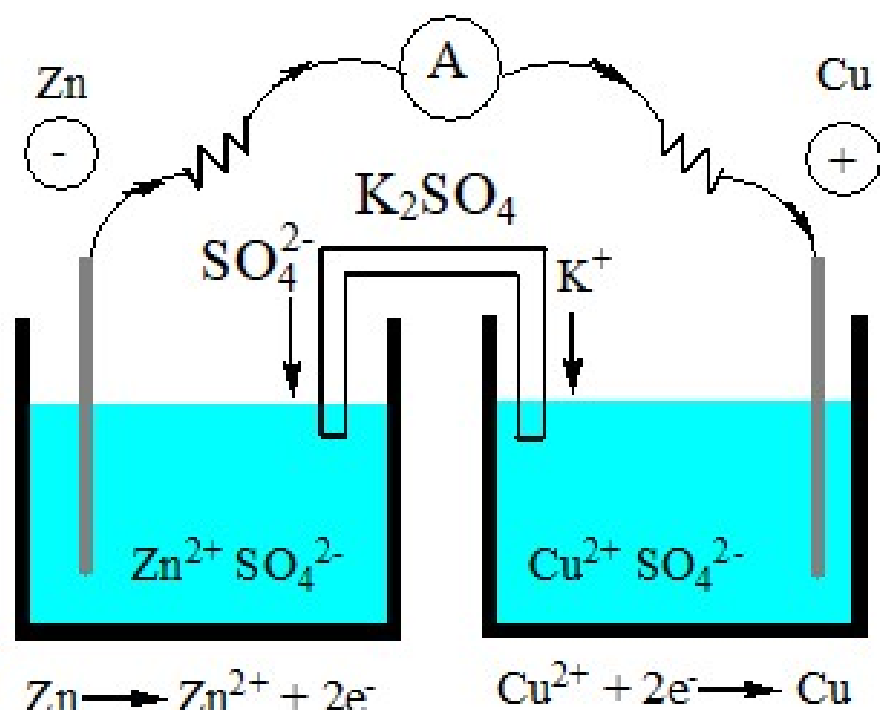
ELETTROCHIMICA

PILA → dispositivo che utilizza una REAZIONE REDOX SPONTANEA per produrre LAVORO ELETTRICO

Energia chimica → Energia elettrica



$$E_{\text{PILA}} = E_+ - E_- > 0$$



$$E_{\text{PILA}} = E_+ - E_-$$

E_+ , E_- dipendono :

- dalla concentrazione delle specie ossidate e ridotte
- dalla loro natura chimica

POTENZIALE STANDARD di un semielemento

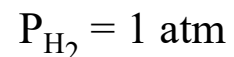
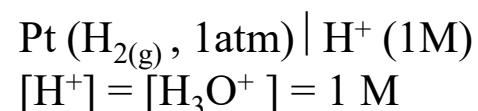
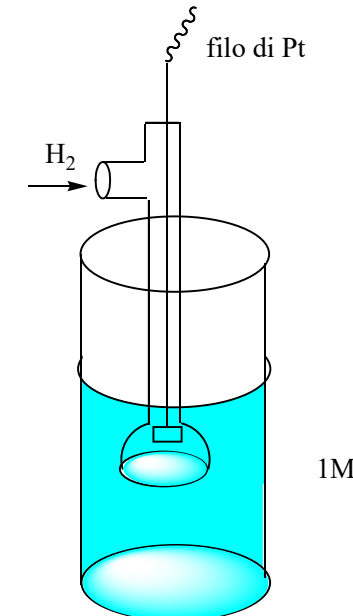
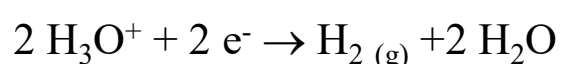
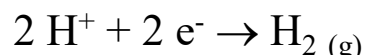
→ Tutte le specie hanno concentrazione 1 molare

→ Pressione pari ad 1 atmosfera

→ $T=25^{\circ}\text{C} = 298 \text{ K}$ E°

Si può misurare la f.e.m. di una pila
non il potenziale dei singoli semielementi

Elettrodo standard a idrogeno



<i>specie ossidata</i>	<i>specie ridotta</i>	E^0 (V)
	$F_{2(g)} + 2e^- \rightleftharpoons 2F_{(aq)}$	+2.87
$H_2O_{2(aq)} + 2H_{(aq)}^+ + 2e^- \rightleftharpoons 2H_2O_{(l)}$		+1.77
$MnO_{4(aq)}^- + 8H_{(aq)}^+ + 5e^- \rightleftharpoons Mn^{2+}_{(aq)} + 4H_2O_{(l)}$		+1.51
$Au^{3+}_{(aq)} + 3e^- \rightleftharpoons Au_{(s)}$		+1.50
$Cl_{2(g)} + 2e^- \rightleftharpoons 2Cl_{(aq)}^-$		+1.36
$Cr_2O_7^{2-}_{(aq)} + 14H_{(aq)}^+ + 6e^- \rightleftharpoons 2Cr^{3+}_{(aq)} + 7H_2O_{(l)}$		+1.33
$O_{2(g)} + 4H_{(aq)}^+ + 4e^- \rightleftharpoons 2H_2O_{(l)}$		+1.23
$ClO_4^-_{(aq)} + 2H_{(aq)}^+ + 2e^- \rightleftharpoons ClO_3^-_{(aq)} + H_2O_{(l)}$		+1.23
$Pt^{2+}_{(aq)} + 2e^- \rightleftharpoons Pt_{(s)}$		+1.20
$NO_3^-_{(aq)} + 4H_{(aq)}^+ + 3e^- \rightleftharpoons NO_{(g)} + H_2O_{(l)}$		+0.96
$Ag^+_{(aq)} + e^- \rightleftharpoons Ag_{(s)}$		+0.80
$Cu^{2+}_{(aq)} + 2e^- \rightleftharpoons Cu_{(s)}$		+0.34
$2H^+_{(aq)} + 2e^- \rightleftharpoons H_2(g)$		+0.00
$Fe^{2+}_{(aq)} + 2e^- \rightleftharpoons Fe_{(s)}$		-0.44
$Cr^{3+}_{(aq)} + 3e^- \rightleftharpoons Cr_{(s)}$		-0.74
$Zn^{2+}_{(aq)} + 2e^- \rightleftharpoons Zn_{(s)}$		-0.76
$Al^{3+}_{(aq)} + 3e^- \rightleftharpoons Al_{(s)}$		-1.66
$Mg^{2+}_{(aq)} + 2e^- \rightleftharpoons Mg_{(s)}$		-2.36
$Na^+_{(aq)} + e^- \rightleftharpoons Na_{(s)}$		-2.71
$K^+_{(aq)} + e^- \rightleftharpoons K_{(s)}$		-2.93
$Li^+_{(aq)} + e^- \rightleftharpoons Li_{(s)}$		-3.05

$$E_{\text{PILA}} = E_+ - E_- \quad E_+, E_- \text{ dipendono :}$$

- dalla natura chimica delle specie ossidate e ridotte $\rightarrow E^\circ$
- dalla loro concentrazione



$$E = E^0 + \frac{RT}{nF} \ln \frac{a_{\text{ox}}}{a_{\text{red}}} = E^0 + \frac{0,0592}{n} \log \frac{a_{\text{ox}}}{a_{\text{red}}}$$

$$R = 0,0821 \text{ atm}\cdot\text{l}\cdot\text{K}^{-1} = 8,31 \text{ J}\cdot\text{K}^{-1} \quad T = 298 \text{ K}$$

F = 96500 C Costante di Faraday

Equazione di Nernst

2,3 conversione da ln a log

↗ per le specie in soluzione: concentrazione (M)

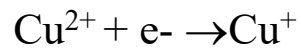
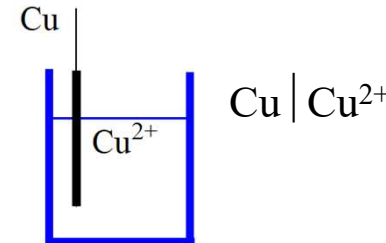
a = attività → per i gas: pressione P

↘ per i solidi puri: 1

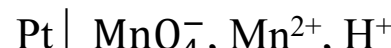
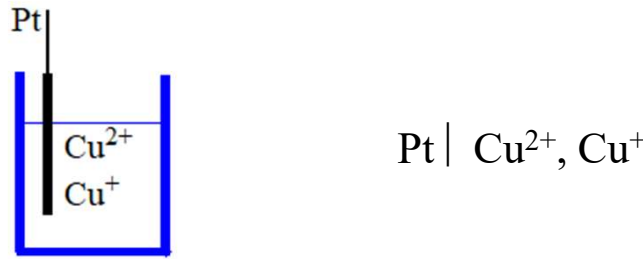
$$E = E^0 + \frac{RT}{nF} \ln \frac{a_{ox}}{a_{red}} = E^0 + \frac{0,0592}{n} \log \frac{a_{ox}}{a_{red}}$$



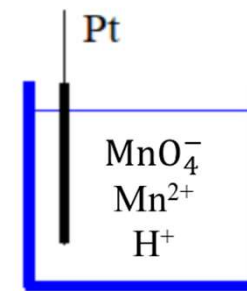
$$E_{\text{Cu}^{2+}/\text{Cu}} = E_{\text{Cu}^{2+}/\text{Cu}}^0 + \frac{0,0592}{2} \log [\text{Cu}^{2+}]$$



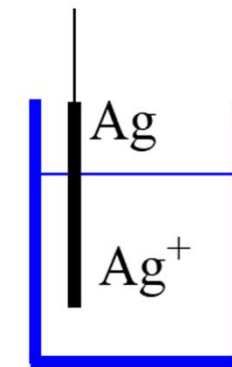
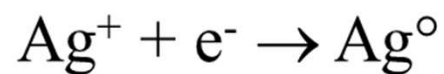
$$E_{\text{Cu}^{2+}/\text{Cu}^+} = E_{\text{Cu}^{2+}/\text{Cu}^+}^0 + 0,0592 \log \frac{[\text{Cu}^{2+}]}{[\text{Cu}^+]}$$



$$E_{\text{MnO}_4^-/\text{Mn}^{2+}} = E_{\text{MnO}_4^-/\text{Mn}^{2+}}^0 + \frac{0,0592}{5} \log \frac{[\text{MnO}_4^-][\text{H}^+]^8}{[\text{Mn}^{2+}]}$$

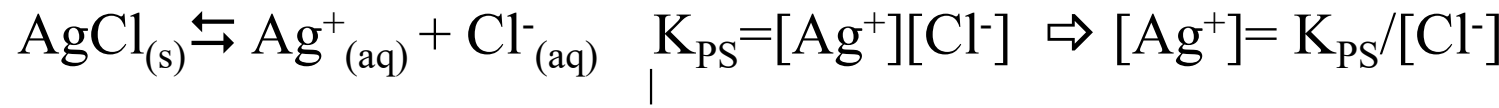
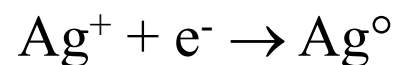


Elettrodi di I specie

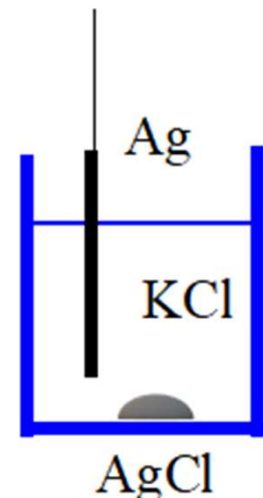


$$E_{\text{Ag}^+/\text{Ag}} = E_{\text{Ag}^+/\text{Ag}}^\circ + 0,059 \log [\text{Ag}^+]$$

Elettrodi di II specie

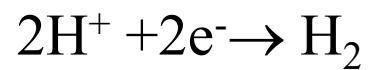


$$E_{\text{Ag}^+/\text{Ag}} = E_{\text{Ag}^+/\text{Ag}}^\circ + 0,059 \log [\text{Ag}^+] = E_{\text{Ag}^+/\text{Ag}}^\circ + 0,059 \log \frac{K_{PS}}{[\text{Cl}^-]} = \\ E_{\text{Ag}^+/\text{Ag}}^\circ + 0,059 \log K_{PS} - 0,059 \log [\text{Cl}^-] =$$



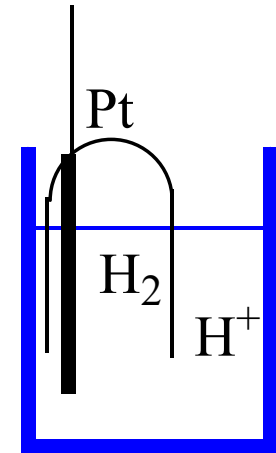
$$E_{\text{AgCl}/\text{Ag}} = E_{\text{AgCl}/\text{Ag}}^\circ - 0,059 \log [\text{Cl}^-] \quad \text{AgCl} + \text{e}^- \rightarrow \text{Ag}^\circ + \text{Cl}^-$$

Elettrodi a gas



Pt, H₂ | H⁺

$$E_{\text{H}^+/\text{H}_2} = E_{\text{H}^+/\text{H}_2}^0 + \frac{0,0592}{2} \log \frac{a_{\text{H}^+}^2}{a_{\text{H}_2}} = \frac{0,0592}{2} \log \frac{[\text{H}^+]^2}{P_{\text{H}_2}}$$

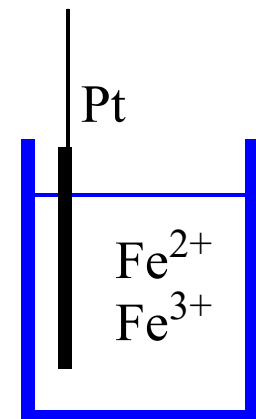


Elettrodi redox



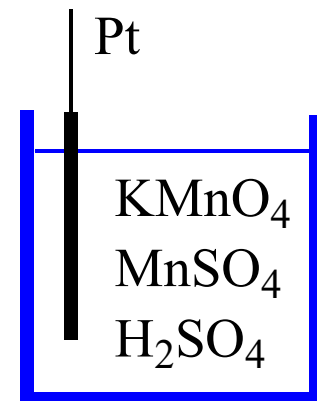
Pt | Fe²⁺, Fe³⁺

$$E_{\text{Fe}^{3+}/\text{Fe}^{2+}} = E_{\text{Fe}^{3+}/\text{Fe}^{2+}}^0 + 0,059 \log \frac{[\text{Fe}^{3+}]}{[\text{Fe}^{2+}]}$$



Pt | KMnO₄, MnSO₄, H₂SO₄

$$E_{\text{MnO}_4^-/\text{Mn}^{2+}} = E_{\text{MnO}_4^-/\text{Mn}^{2+}}^0 + \frac{0,0592}{5} \log \frac{[\text{MnO}_4^-][\text{H}^+]^8}{[\text{Mn}^{2+}]}$$



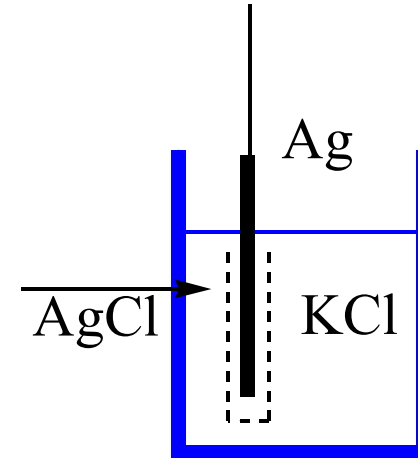
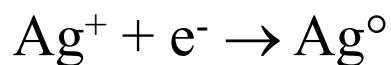
Potenziometria

Misura f.e.m. di una pila $E_{\text{pila}} = E_{\text{mis}} - E_{\text{ref}}$

Elettrodo di misura

Elettrodo di riferimento

Elettrodi di II specie $\text{Ag} \mid \text{AgCl} \mid \text{KCl}$



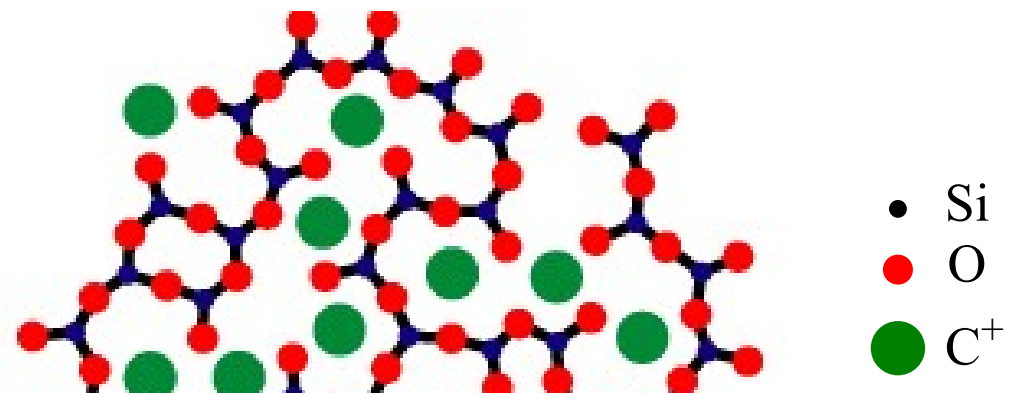
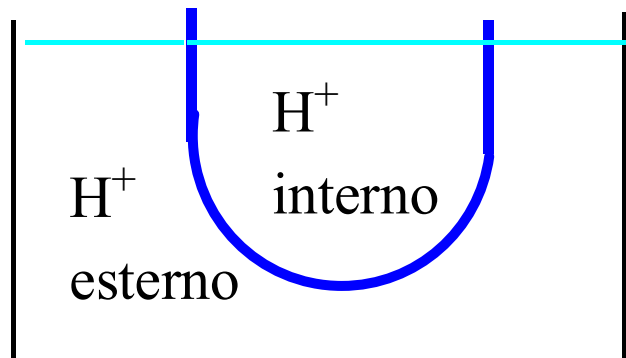
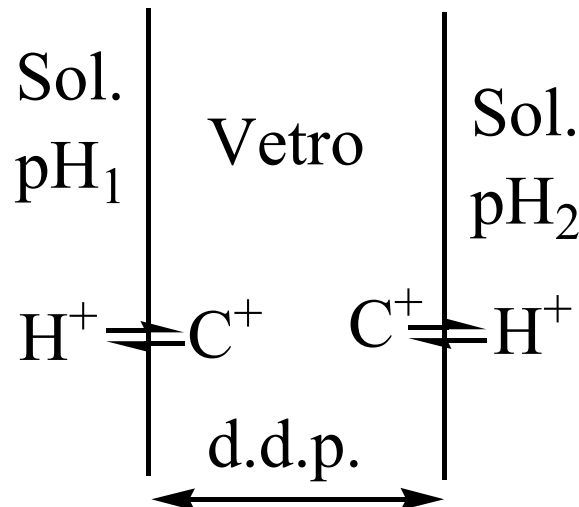
$$K_{\text{PS}} = [\text{Ag}^+] [\text{Cl}^-] \Rightarrow [\text{Ag}^+] = K_{\text{PS}} / [\text{Cl}^-]$$

$$E_{\text{Ag}^+/\text{Ag}} = E^\circ_{\text{Ag}^+/\text{Ag}} + 0,059 \log [\text{Ag}^+] = E^\circ_{\text{Ag}^+/\text{Ag}} + 0,059 \log(K_{\text{PS}} / [\text{Cl}^-])$$

Elettrodi a membrana → scambio ionico

Elettrodo a vetro → H_3O^+

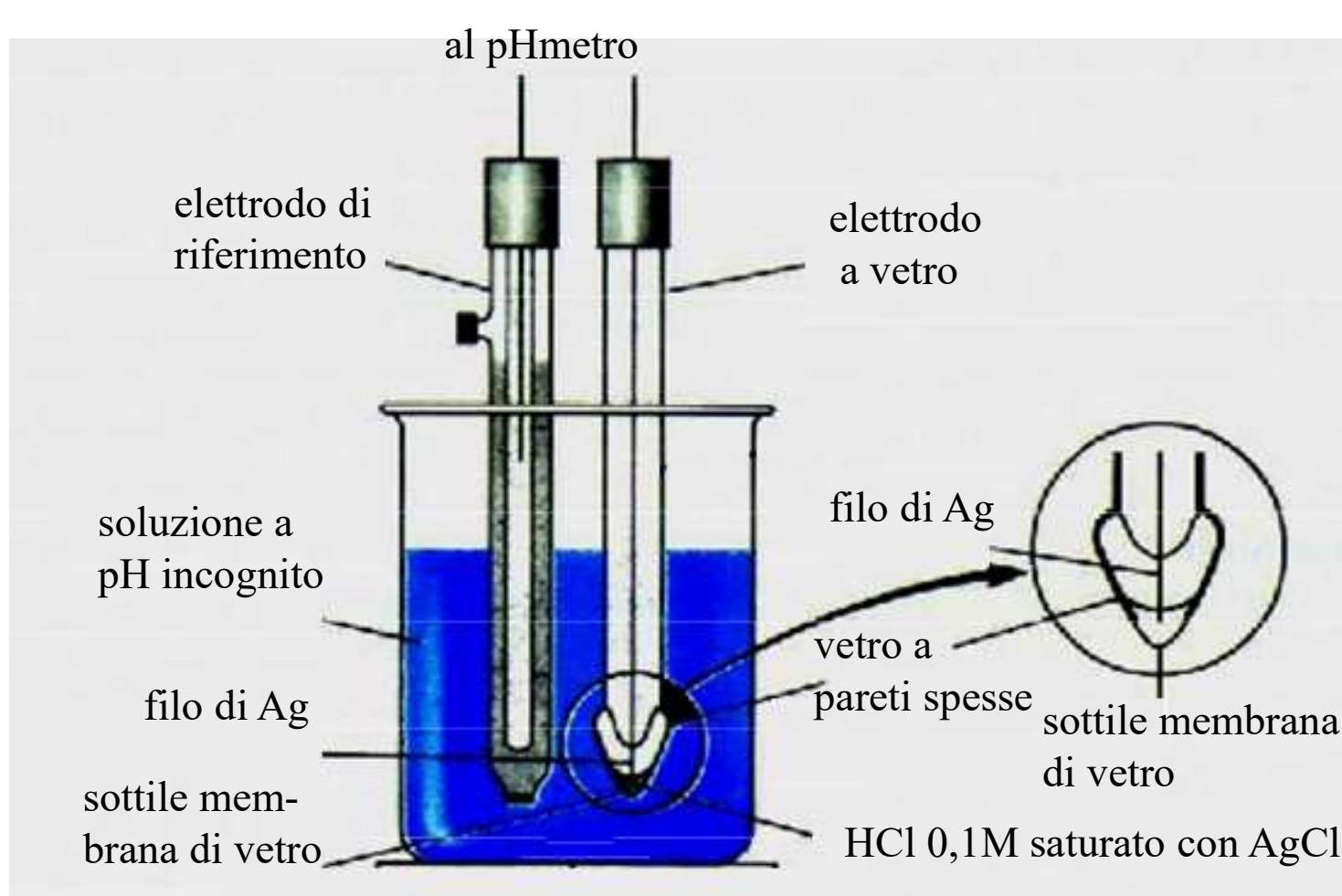
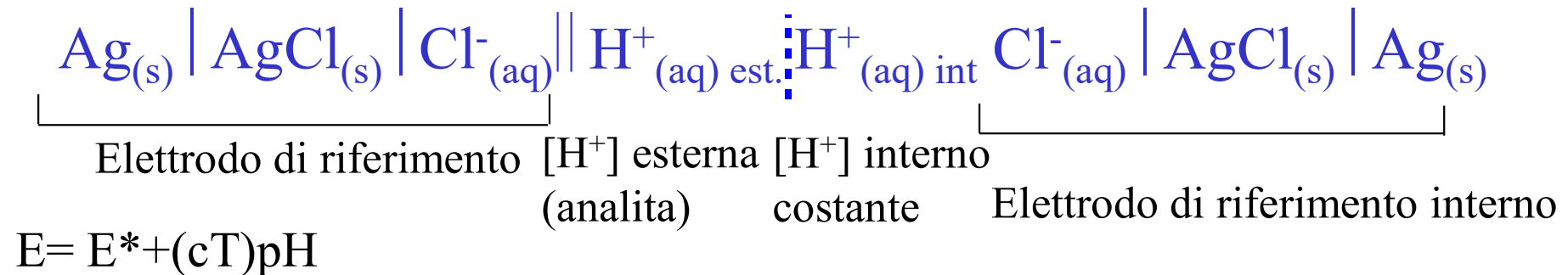
Vetro: tetraedri SiO_4



$$V = c \log \frac{[\text{H}^+]_{\text{int}}}{[\text{H}^+]_{\text{est}}}$$

pHmetro

Elettrodo a vetro





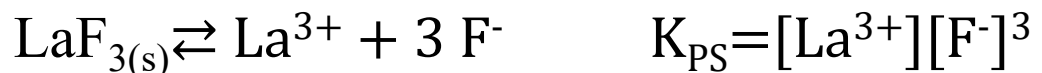
pHmetro



F.e.m. = differenza di potenziale ai capi della pila quando non eroga corrente
Circuito potenziometrico

Elettrodi a membrana ionoselettivi (es. Na^+)

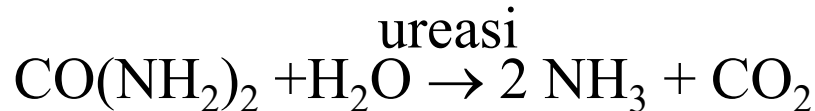
Elettrodi ionoselettivi a stato solido (es. F^-)



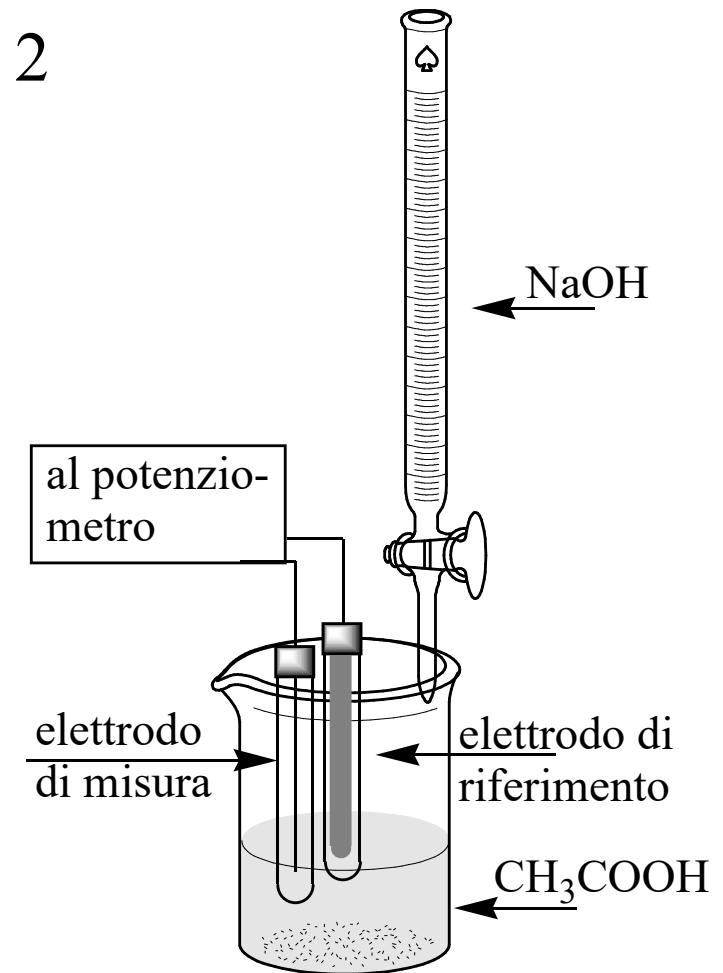
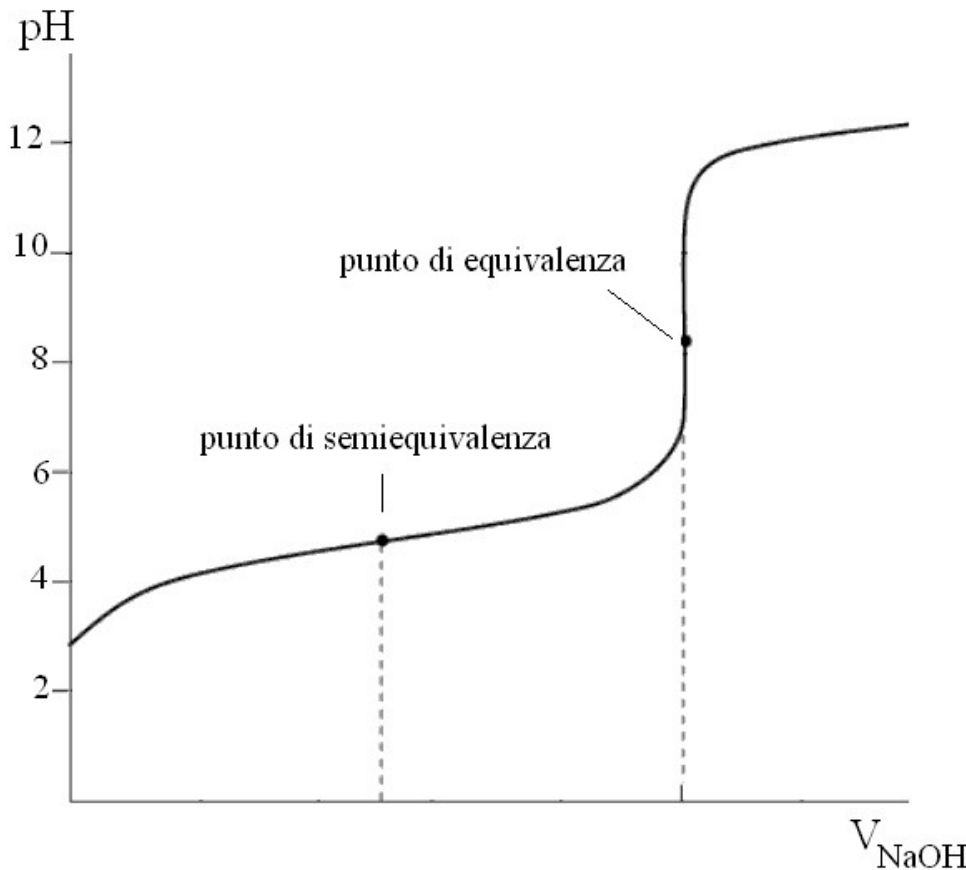
Elettrodi gas-sensibili (es. CO_2 , NH_3)



Elettrodi a enzima

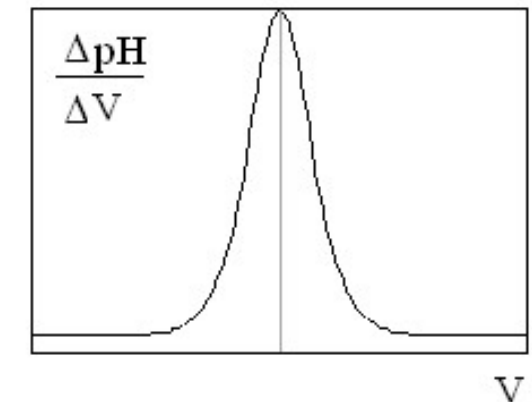
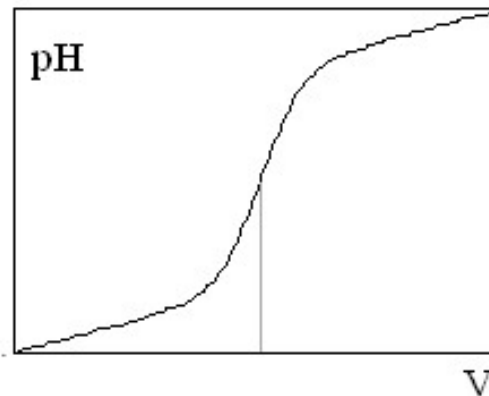


Titolazioni potenziometriche esp. 2

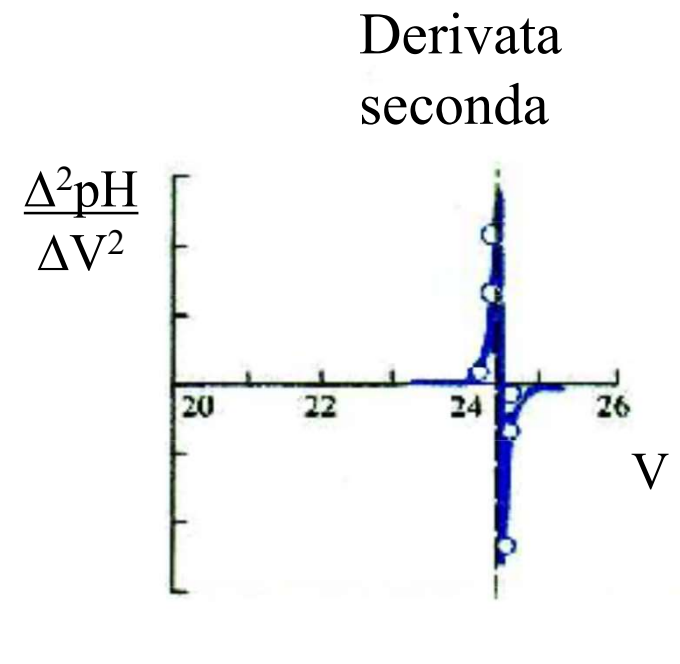
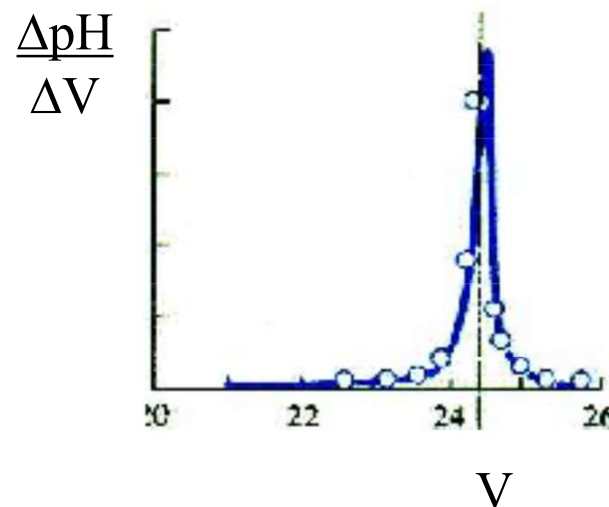
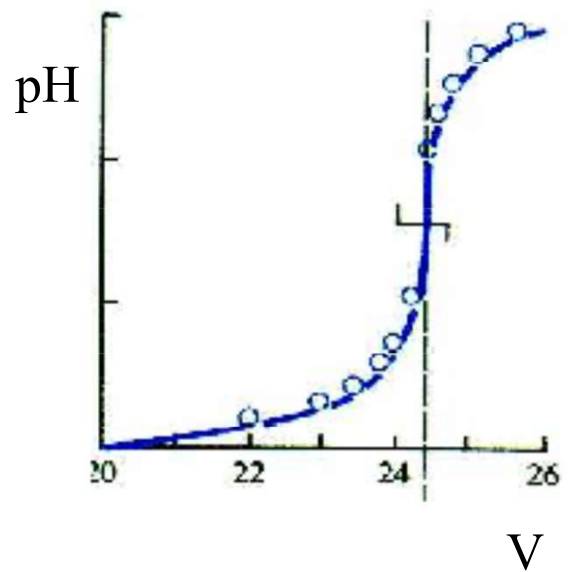


Metodo delle derivata prima

V_{NaOH}	pH	ΔpH	ΔV	$\frac{\Delta \text{pH}}{\Delta V}$

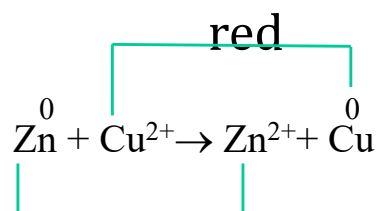
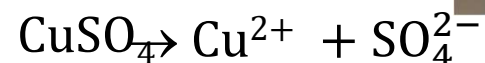
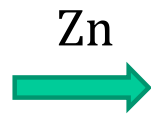
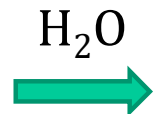


Metodo delle derivate



V_{NaOH}	pH	$\frac{\Delta pH}{\Delta V}$	$\frac{\Delta^2 pH}{\Delta V^2}$

Ossidорiduzioni

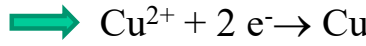
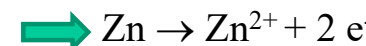


OX

red

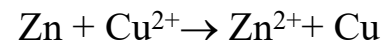
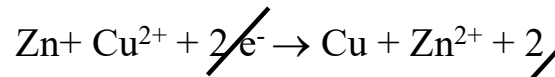
riducente

ossidante



semireazione di
ossalidazione

riduzione

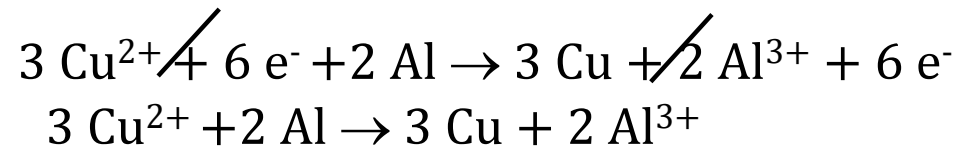
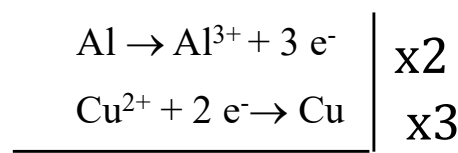
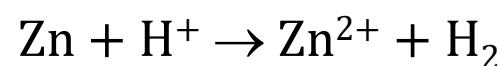
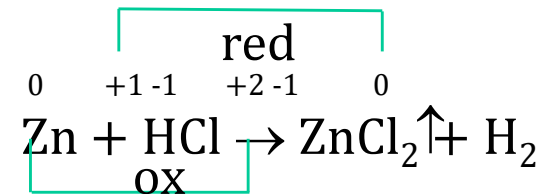
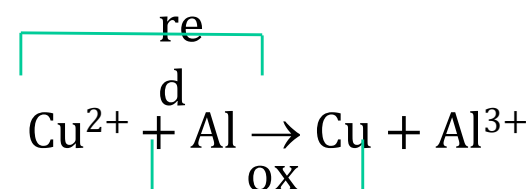


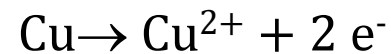
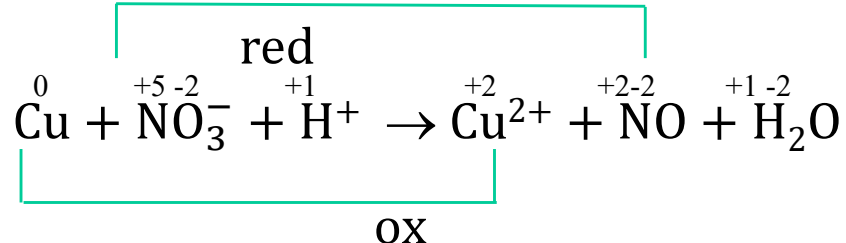
Scambio di elettroni

ossidоридузия

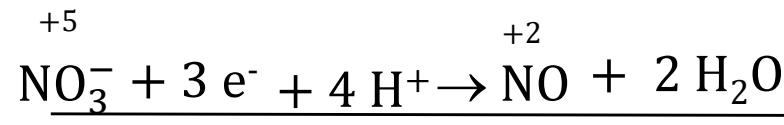
Metodo ionico-elettronico

Reazioni in soluzione acquosa

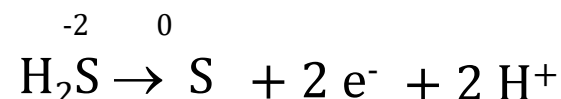
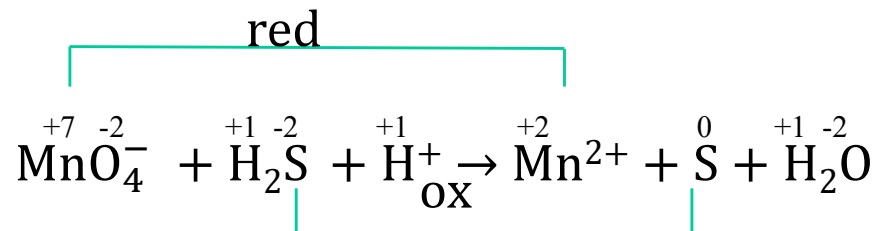
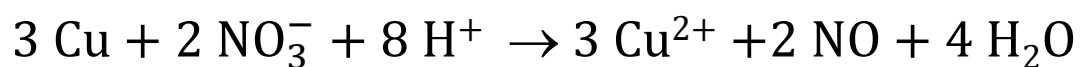




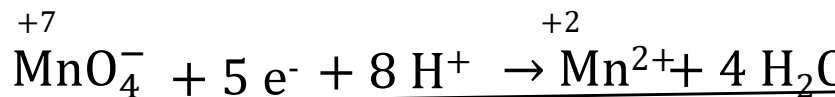
x3



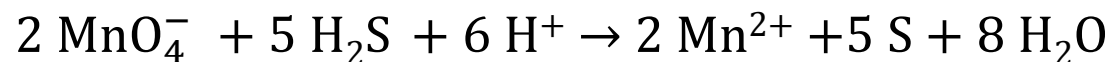
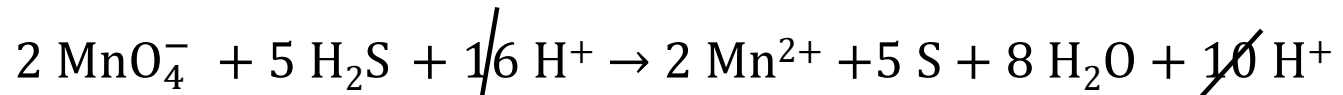
x2

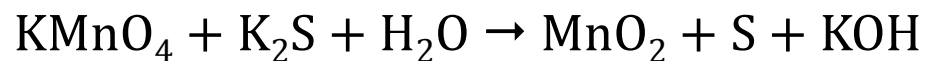
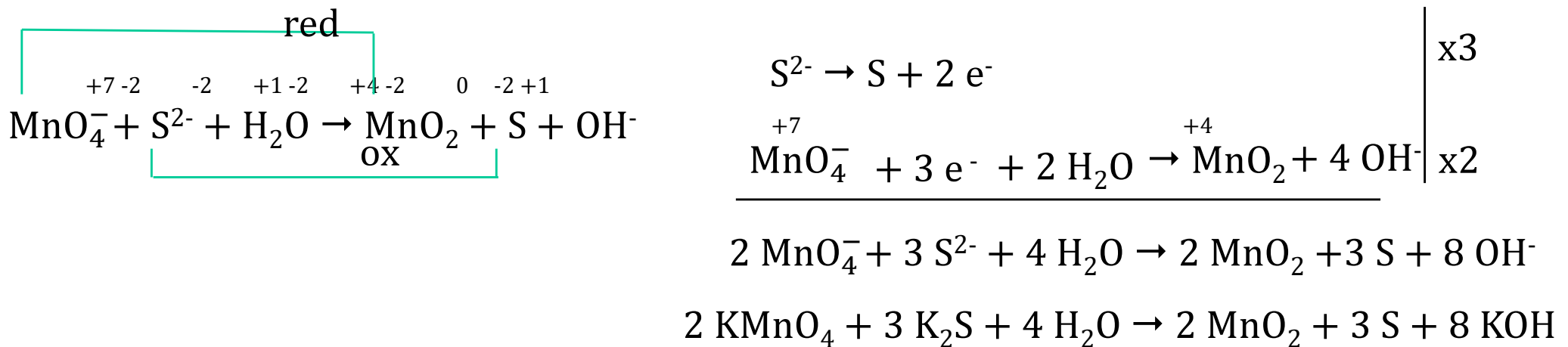
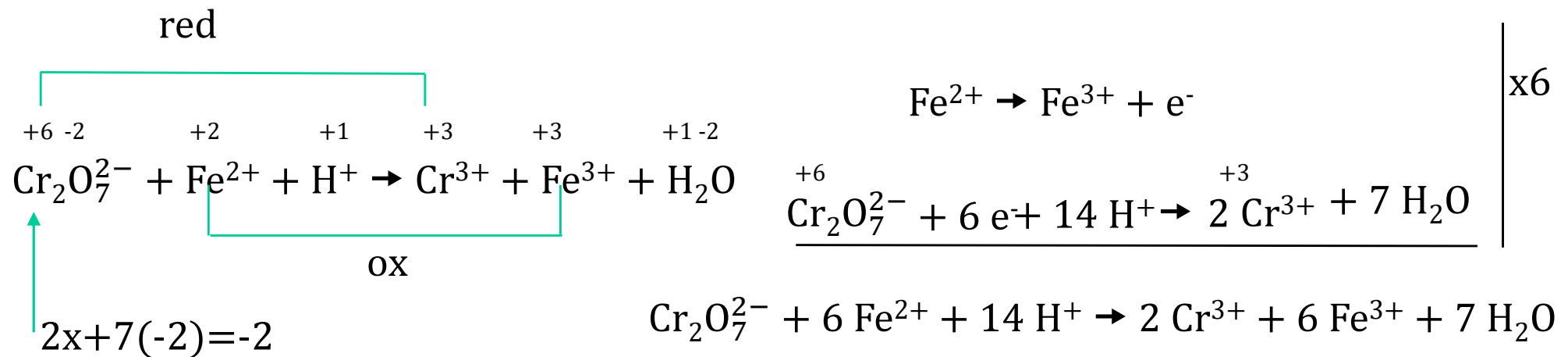


x5

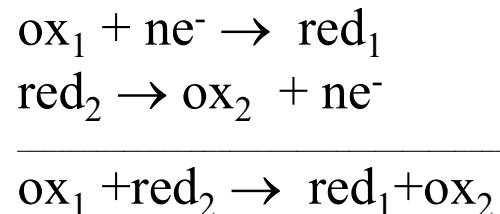


x2

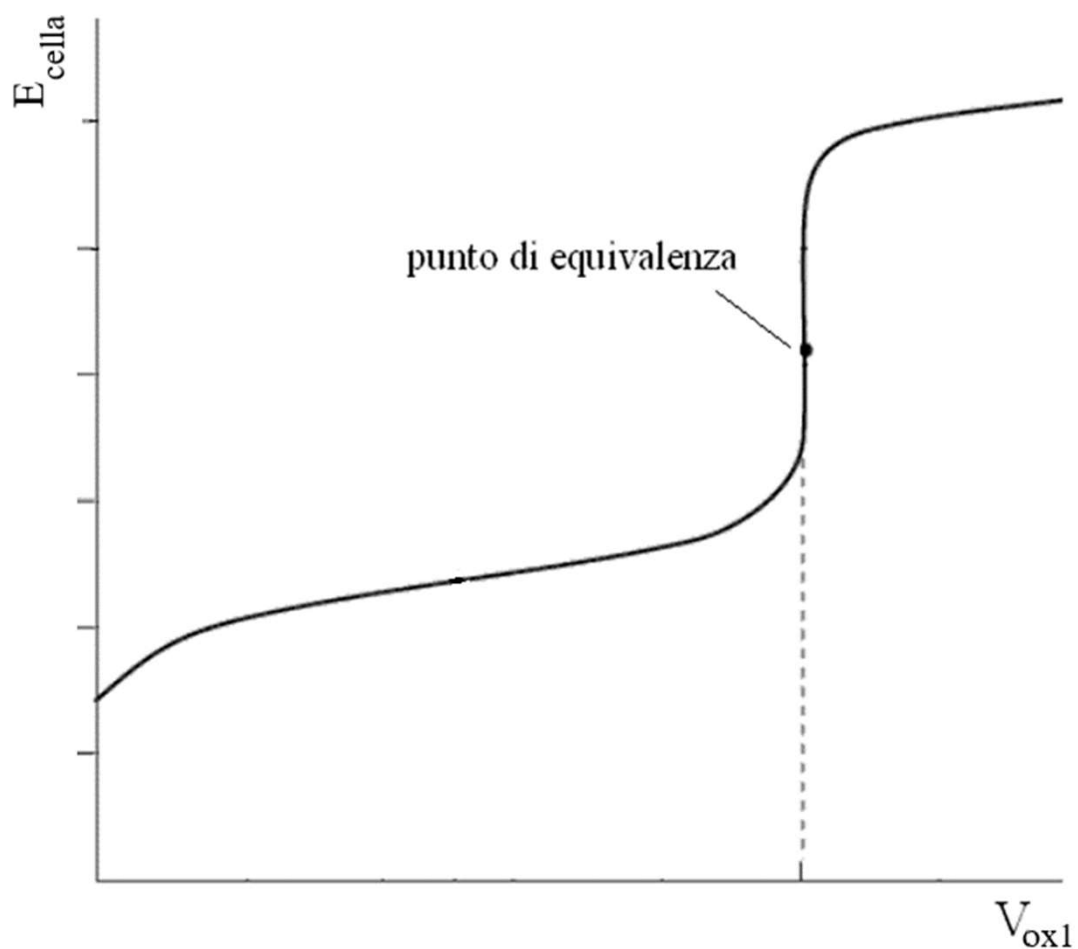
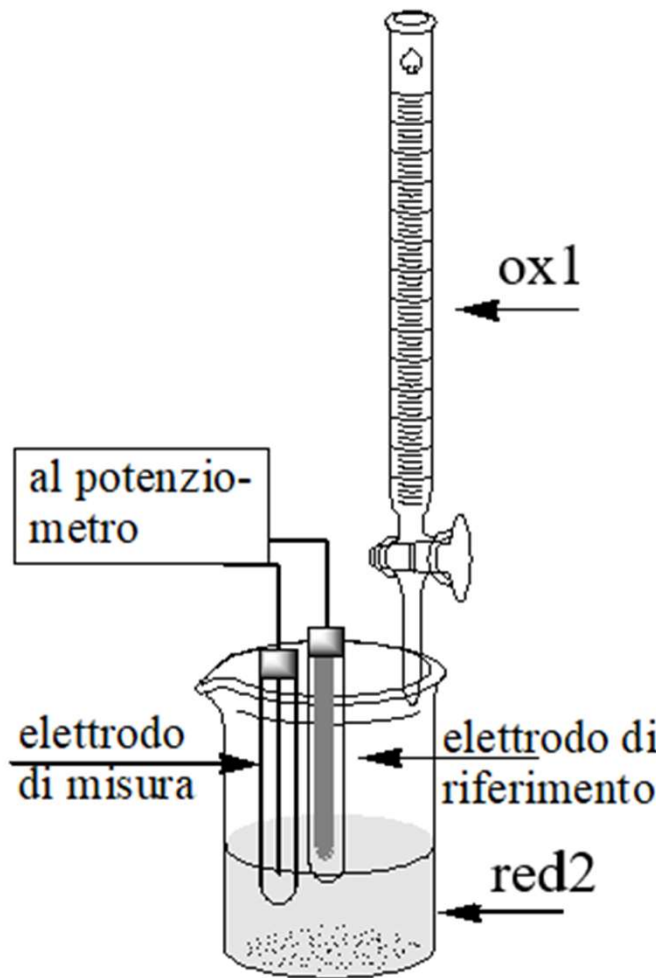




Titolazioni Redox

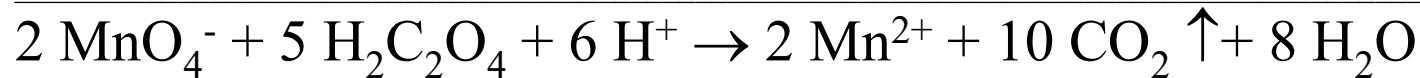
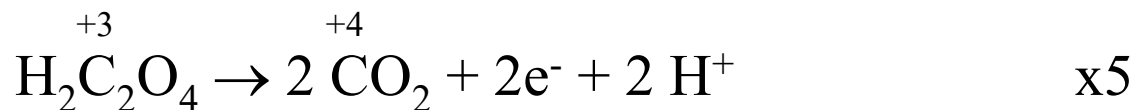
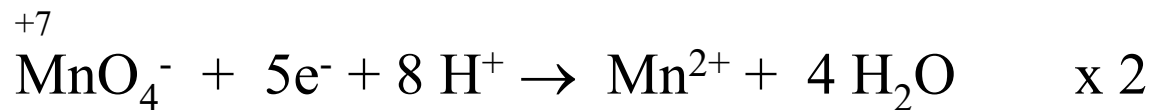


$$E^\circ_1 > E^\circ_2 \quad E = E^0 + \frac{RT}{nF} \ln \frac{a_{\text{ox}}}{a_{\text{red}}}.$$



Titolazioni Redox

Esperienza n. 1: titolazione $\text{H}_2\text{C}_2\text{O}_4/\text{KMnO}_4$



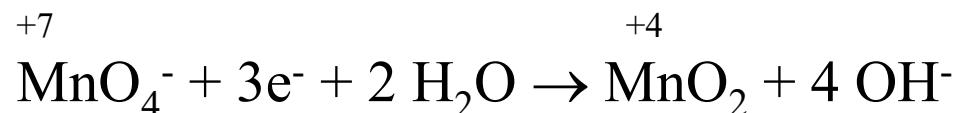
Red: $\text{H}_2\text{C}_2\text{O}_4$

$$\text{Peq}_{\text{Red}} = \frac{\text{PM}_{\text{Red}}}{n_{\text{e}^-}} = \frac{\text{PM}_{\text{Red}}}{2}$$

Ox: KMnO_4

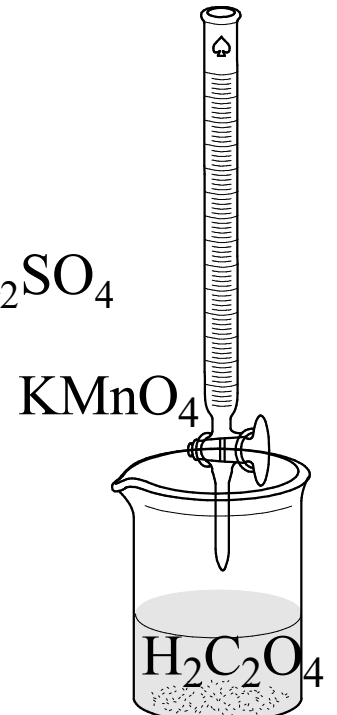
$$\text{Peq}_{\text{Ox}} = \frac{\text{PM}_{\text{Ox}}}{n_{\text{e}^-}} = \frac{\text{PM}_{\text{Ox}}}{5}$$

In ambiente basico:



$$\text{neq}_{\text{Ox}} = \text{neq}_{\text{Red}}$$

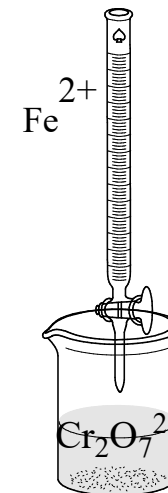
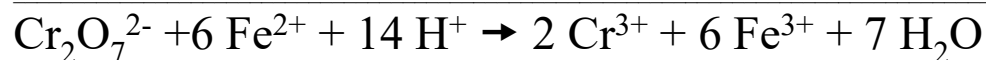
$$\Leftrightarrow N_{\text{Ox}} V_{\text{Ox}} = N_{\text{Red}} V_{\text{Red}}$$



Determinazione COD (Chemical Oxygen Demand)

Ossidante: $E^\circ_{\text{Cr}_2\text{O}_7^{2-}/\text{Cr}^{3+}} = 1,33 \text{ V}$

Riducente: $E^\circ_{\text{Fe}^{3+}/\text{Fe}^{2+}} = 0,77 \text{ V}$



Retrotitolazione

Indicatori Redox

